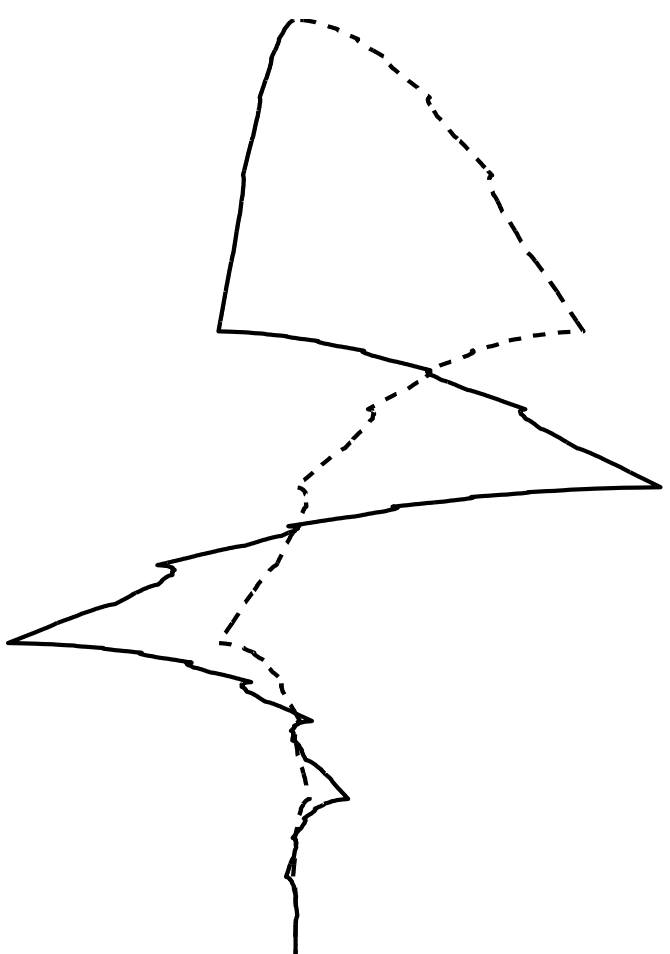


TALASIĆI (WAVELETS)

1. Transformacija
 2. Multirezolucija
 3. Konstrukcija
 4. Filter
 5. Osobine
- 6. Piridalni algoritam**
7. Primeri i primene



Diskretna transformacija talasićima (DWT = Discrete Wavelet Transformation)

$$f(x) = \sum_k a_{J,k} \varphi_{J,k}(x) + \sum_j \sum_k b_{j,k} \psi_{j,k}(x)$$

algoritam kojim se određuju koeficijenti a_{Jk} , b_{jk} u razvoju funkcije po talasićima na različitim diadskim skalama (dekompozicija).

Prva suma predstavlja aproksimaciju na velikoj skali (gruba rezolucija), koja sadrži niskofrekvencijske komponente funkcije. Druga (dvostruka) suma predstavlja detalje na različitim skalamama, tj. visokofrekvencijske komponente funkcije.

Inverznom diskretnom transformacijom talasićima (IDWT) se na osnovu datih koeficijenata računa funkcija u diadskim tačkama (rekonstrukcija).

♠ Piramidalni algoritam (dekompozicija): Za funkciju

$$f_{j-1} = \sum_l a_{j-1,l} \varphi_{j-1,l}(x) \in \mathcal{V}_{j-1}, \quad \mathcal{V}_{j-1} = \mathcal{V}_j \oplus \mathcal{W}_j$$

koeficijenti $a_{j,k}$ i $b_{j,k}$ u razvoju po ortonormiranom bazisu $\{\varphi_{j,k}(x), \psi_{j,k}(x)\}$,

$$f_{j-1} = \sum_k a_{j,k} \varphi_{j,k}(x) + \sum_k b_{j,k} \psi_{j,k}(x)$$

su jednaki

$$a_{j,k} = \sum_l c(l-2k) a_{j-1,l}, \quad b_{j,k} = \sum_l d(l-2k) a_{j-1,l}$$

$$U vektorskoj notaciji \quad \mathbf{a}_j = (\downarrow 2) C^\top \mathbf{a}_{j-1}, \quad \mathbf{b}_j = (\downarrow 2) D^\top \mathbf{a}_{j-1}$$

Šematski prikaz

$$\begin{array}{ccccccc} \mathbf{a}_0 & \xrightarrow{C^\top} & \mathbf{a}_1 & \xrightarrow{C^\top} & \cdots & \mathbf{a}_{J-1} & \xrightarrow{C^\top} \mathbf{a}_J \\ D^\top \searrow & & & & & & D^\top \searrow \\ & & & & & & \\ & & & & & & \\ & & & & & & \\ \mathbf{b}_1 & & & & & & \mathbf{b}_J \end{array}$$

Dokaz: Za $j = 0$ u dilatacionaloj i jednačini talasića transliramo t za k , i $n = l - 2k$,

$$\varphi(x - k) = \sum_n c(n) \sqrt{2} \varphi(2x - 2k - n) = \sum_l c(l - 2k) \varphi_{-1,l}(x)$$

$$\psi(x - k) = \sum_n d(n) \sqrt{2} \varphi(2x - 2k - n) = \sum_l d(l - 2k) \varphi_{-1,l}(x)$$

Obe jednačine pomnožimo sa $f_{-1}(x)$ i integralimo po x ,

$$\int f_{-1}(x) \varphi_{0,k}(x) dx = \int f_{-1}(x) \varphi(x - k) dx = \sum_l c(l - 2k) \int f_{-1}(x) \varphi_{-1,l}(x) dx$$

$$\int f_{-1}(x) \psi_{0,k}(x) dx = \int f_{-1}(t) \psi(x - k) dx = \sum_l d(l - 2k) \int f_{-1}(x) \varphi_{-1,l}(x) dx$$

Bazisi su ortonormirani, te su Fourier-ovi koeficijenti

$$a_{0,k} = (f_{-1}, \varphi_{0,l}) = \sum_l c(l - 2k) a_{-1,l},$$

$$b_{0,k} = (f_{-1}, \psi_{0,l}) = \sum_l d(l - 2k) a_{-1,l}$$

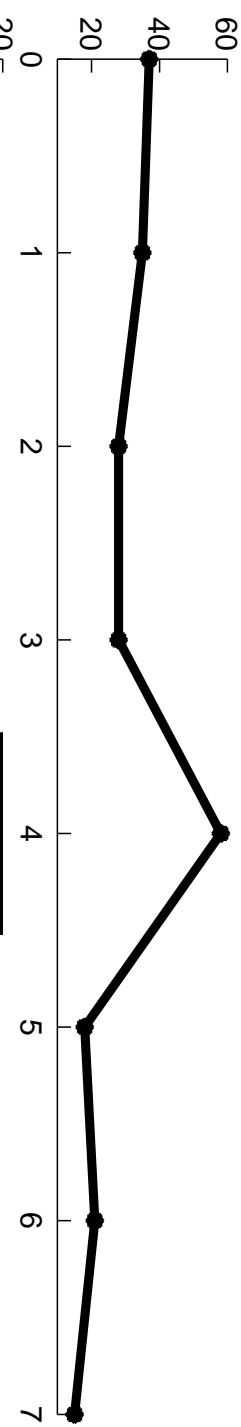
Uopštenje za proizvoljno j sledi iz dilatacione jednačine za $\varphi_{j,k}(x)$ i jednačine talasića za $\psi_{j,k}(x)$

◊ dekompozicija

$$\begin{aligned}
 c(0) &= c(1) = \frac{1}{2} \\
 d(0) &= -d(1) = \frac{1}{2} \\
 a_{j,k} &= \frac{1}{2} (a_{j-1,2k} + a_{j-1,2k+1}) \\
 b_{j,k} &= \frac{1}{2} (a_{j-1,2k} - a_{j-1,2k+1})
 \end{aligned}$$

37	35	28	28	58	18	21	15	
36	28	38	18		1	0	20	3
32	28			4	10			
30		2						
30	2	4	10	1	0	20	3	

x



w_1

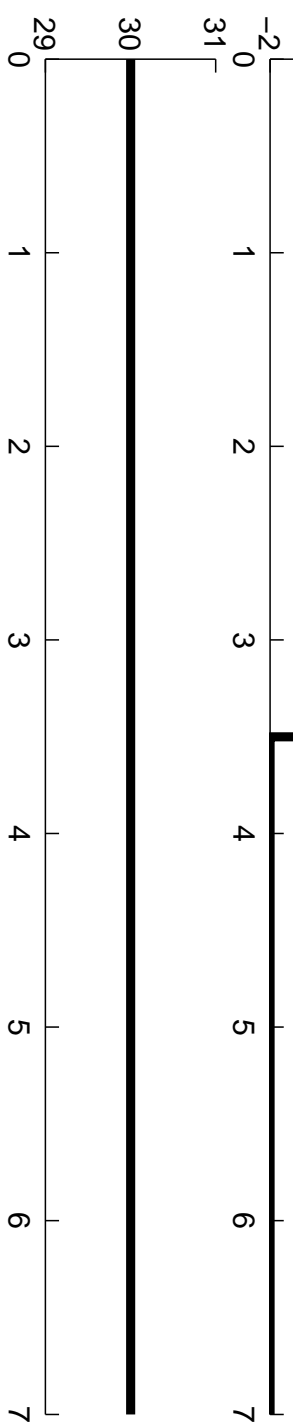


w_2



w_3

v_3



♠ Inverzni piramidalni algoritam (rekonstrukcija): Koeficijenti $a_{j-1,l}$ se dobijaju kombinovanjem koeficijenata $a_{j,k}$ i $b_{j,k}$

$$a_{j-1,l} = \sum_k (c(l-2k)a_{j,k} + d(l-2k)b_{j,k}).$$

U vektorskoj notaciji

$$\mathbf{a}_{j-1} = (C \quad D) (\uparrow 2) \begin{pmatrix} \mathbf{a}_j \\ \mathbf{b}_j \end{pmatrix}$$

Šematski prikaz

$$\begin{array}{ccccccc} \mathbf{a}_J & \xrightarrow[C]{\nearrow D} & \mathbf{a}_{J-1} & \xrightarrow[C]{\nearrow D} & \cdots & \mathbf{a}_1 & \xrightarrow[C]{\nearrow D} \mathbf{a}_0 \\ & & & & & & \\ \mathbf{b}_J & & \mathbf{b}_{J-1} & & & & \mathbf{b}_1 \end{array}$$

Dokaz: Za $j = 0$ je

$$f_{-1}(x) \in \mathcal{V}_{-1}(x) = \mathcal{V}_0 \oplus \mathcal{W}_0, \quad \mathcal{V}_j : \{\varphi_{j,k}\}, \quad \mathcal{W}_j : \{\psi_{j,k}\}$$

$$\begin{aligned} \sum_k a_{-1,k} \varphi_{-1,k}(x) &= \sum_k a_{0,k} \varphi_{0,k}(x) + \sum_k b_{0,k} \psi_{0,k}(x) \\ &= \sum_l \left(\sum_n (a_{0,n} c(l-2n) + b_{0,n} d(l-2n)) \right) \varphi_{-1,l}(x) \end{aligned}$$

Za ostale nivoje j dokaz analogno sledi.

Dokaz se može izvesti i invertovanjem sistema jednačina iz teoreme dekompozicije:

$$\begin{pmatrix} \mathbf{a}_j \\ \mathbf{b}_j \end{pmatrix} = (\downarrow 2) \begin{pmatrix} C^T \\ D^T \end{pmatrix} \mathbf{a}_{j-1} = (\downarrow 2) (C \quad D)^T \mathbf{a}_{j-1} = ((C \quad D) (\uparrow 2))^T$$

$$(\downarrow 2) \begin{pmatrix} C^T \\ D^T \end{pmatrix} \text{ je ortogonalna matrica} \quad \longrightarrow \quad \mathbf{a}_{j-1} = (C \quad D) (\uparrow 2) \begin{pmatrix} \mathbf{a}_j \\ \mathbf{b}_j \end{pmatrix}$$

◊ rekonstrukcija

$$a_{j-1,2k} = a_{j,k} + b_{j,k}$$

$$a_{j-1,2k+1} = a_{j,k} - b_{j,k}$$

kompresija

prag = 2

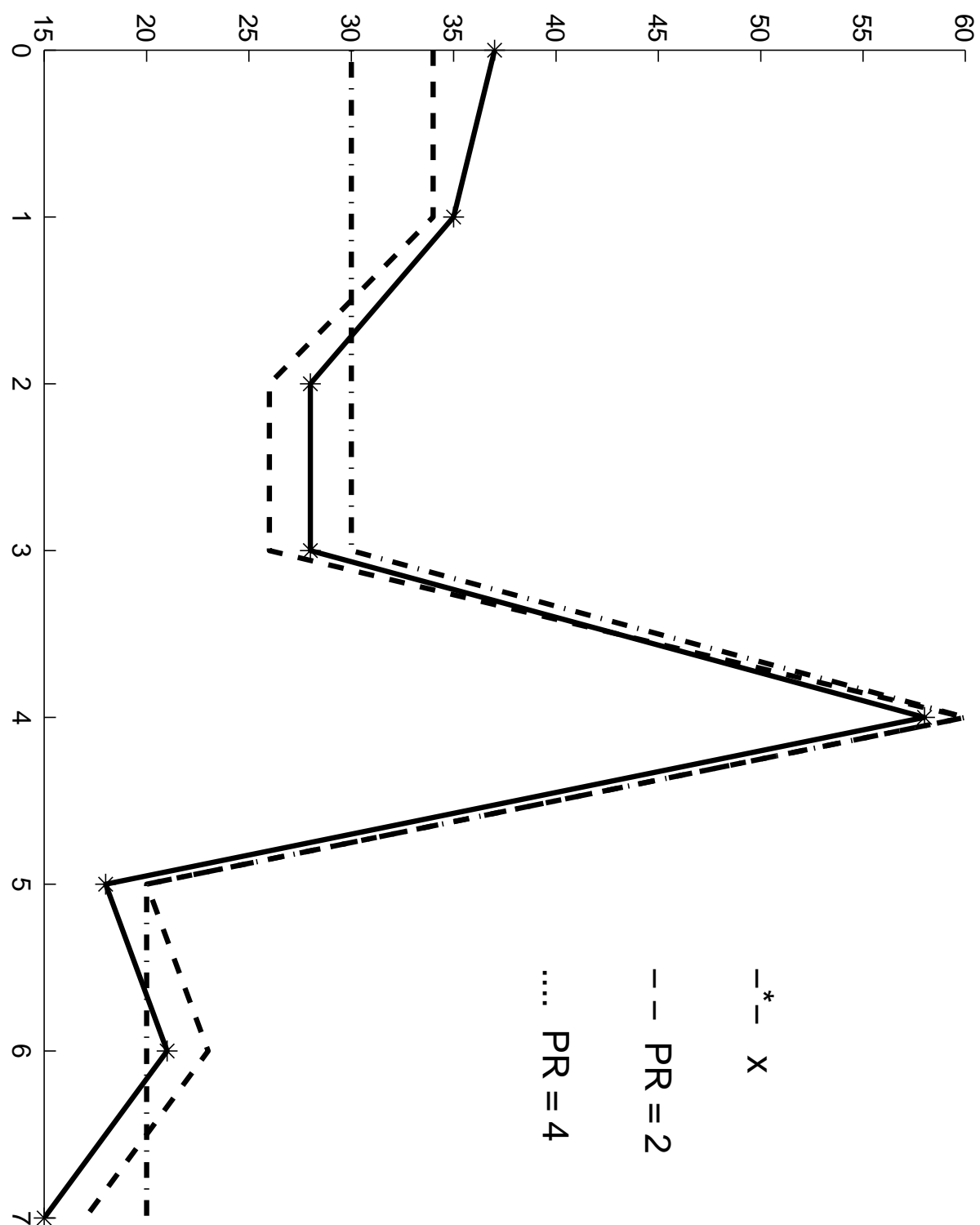
30	2	4	10	1	0	20	3
-----------	---	---	----	---	---	----	---

prag = 4

30	0	0	10	0	0	20	0
-----------	---	---	----	---	---	----	---

30	0	4	10	0	0	20	3
30	30	4	10	0	0	20	3
34	26	40	20	0	0	20	3
34	34	26	26	60	20	23	17

30	0	0	10	0	0	20	0
30	30	0	10	0	0	20	0
30	30	40	20	0	0	20	0
30	30	30	30	60	20	20	20



Kako izvršiti početni izbor koeficijenata u piridalnom algoritmu?

Ako nivo sa najfinijom skalom označimo sa $j = 0$, onda je

$$f(x) = \sum_n a_{0,n} \varphi(x - n), \quad a_{0,n} = \int f(x) \varphi(x - n) dx$$

a za diskretan signal $f(k)$

$$f(k) = \sum_n a_{0,n} \varphi(k - n)$$

$a_{0,n}$ su mogu dobiti rešavanjem sistema linearnih jednačina sa Toeplitz-ovom matricom $\{\varphi(k - n)\}$, koji sledi iz poslednje veze za različito k , ili

aproksimacijom integrala sumom,

$$a_{0,n} \approx \sum_k f(k) \varphi(k - n)$$

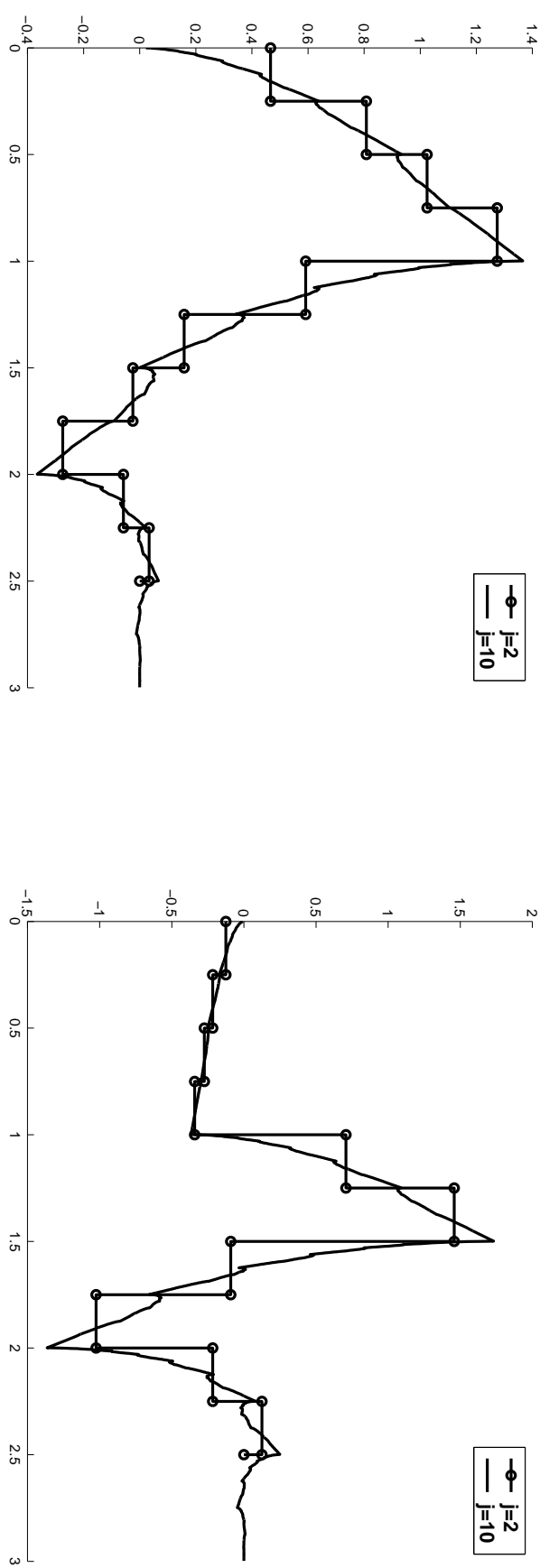
U procesu rekonstrukcije se mora izvršiti post-filtriranje dobijenih koeficijenata $a_{0,n}$ da bi se odredio signal (postupak suprotan opisanom).

◇ Crtanje grafika funkcije skaliranja i talasića

$$\varphi^{(j)}(x) = \sum_n c(n) \sqrt{2} \varphi^{(j-1)}(2x - n),$$

$$\psi^{(j)}(x) = \sum_n d(n) \sqrt{2} \varphi^{(j-1)}(2x - n),$$

$$\varphi^{(j)}(x), \psi^{(j)}(x) \in \mathcal{V}_{-j} = \{f(x) \mid f(x) = f(n), x \in [n2^{-j}, (n+1)2^{-j}]\}$$



$$\varphi^{(j)}(x) = \sum_k a_{-j,k} \varphi^{(0)}(2^j x - k), \quad a_{-j,n} = \varphi^{(j)}(n 2^{-j}) \approx \varphi(n 2^{-j})$$

jer je $\varphi_b(2^j(n 2^{-j}) - k) = \delta(n - k)$

Analogno,

$$\psi^{(j)}(x) = \sum_k a_{-j,k} \varphi^{(0)}(2^j x - k), \quad a_{-j,n} = \psi^{(j)}(n 2^{-j}) \approx \psi(n 2^{-j})$$

Algoritam: Polazeći od niza koeficijenata, za $j = 0, \dots, J-1$, $n = 0, \pm 1, \dots$,

funkcija skaliranja

$$a_{0,n} = \delta_{0,n}, \quad b_{-j,n} = 0$$

talasić

$$a_{0,n} = 0, \quad b_{0,n} = \delta_{0,n}, \quad b_{-j,n} = 0$$

inverznim piramidalnim algoritmom dobijamo aproksimacije vrednosti funkcije u diadskim tačkama $n 2^{-J}$,

$$a_{-j,l} = \sum_k (c(l-2k)a_{-j+1,k} + d(l-2k)b_{-j+1,k})$$

◇ Matrični zapis dekompozicije iz prethodnog primjera

Nivo 0

$$a_0 = \begin{pmatrix} 37 \\ 35 \\ 28 \\ 28 \\ 18 \\ 21 \\ 15 \end{pmatrix}$$

$$C = \frac{1}{\sqrt{2}}$$

$$\begin{pmatrix} 1 & 0 & 0 & 0 & 0 & 0 & 0 \\ 1 & 1 & 0 & 0 & 0 & 0 & 0 \\ 0 & 1 & 1 & 0 & 0 & 0 & 0 \\ 0 & 0 & 1 & 1 & 0 & 0 & 0 \\ 0 & 0 & 0 & 1 & 1 & 0 & 0 \\ 0 & 0 & 0 & 0 & 1 & 1 & 0 \\ 0 & 0 & 0 & 0 & 0 & 1 & 1 \\ 0 & 0 & 0 & 0 & 0 & 0 & 1 \\ 0 & 0 & 0 & 0 & 0 & 0 & 0 \\ 0 & 0 & 0 & 0 & 0 & 0 & 0 \\ 0 & 0 & 0 & 0 & 0 & 0 & 0 \\ 0 & 0 & 0 & 0 & 0 & 0 & 0 \end{pmatrix}$$

$$D = \frac{1}{\sqrt{2}}$$

$$\begin{pmatrix} -1 & 1 & 0 & 0 & 0 & 0 & 0 \\ 0 & -1 & 1 & 0 & 0 & 0 & 0 \\ 0 & 0 & -1 & 1 & 0 & 0 & 0 \\ 0 & 0 & 0 & -1 & 1 & 0 & 0 \\ 0 & 0 & 0 & 0 & -1 & 1 & 0 \\ 0 & 0 & 0 & 0 & 0 & -1 & 1 \\ 0 & 0 & 0 & 0 & 0 & 0 & -1 \\ 0 & 0 & 0 & 0 & 0 & 0 & 0 \\ 0 & 0 & 0 & 0 & 0 & 0 & 0 \\ 0 & 0 & 0 & 0 & 0 & 0 & 0 \\ 0 & 0 & 0 & 0 & 0 & 0 & 0 \\ 0 & 0 & 0 & 0 & 0 & 0 & 0 \end{pmatrix}$$

$$\begin{aligned}
 (\downarrow 2) \begin{pmatrix} C^\top \\ D^\top \end{pmatrix} a_0 &= \frac{1}{\sqrt{2}} \begin{pmatrix} 1 & 1 & 0 & 0 & 0 & 0 & 0 \\ 0 & 0 & 1 & 0 & 0 & 0 & 0 \\ 0 & 0 & 0 & 1 & 0 & 0 & 0 \\ 0 & 0 & 0 & 0 & 1 & 0 & 0 \\ 0 & -1 & 0 & 0 & 0 & 1 & 0 \\ 0 & 0 & 1 & 0 & 0 & 0 & 1 \\ 0 & 0 & 0 & -1 & 0 & 0 & 0 \\ 0 & 0 & 0 & 0 & -1 & 0 & 1 \\ 0 & 0 & 0 & 0 & 0 & 1 & 0 \\ 0 & 0 & 0 & 0 & 0 & 0 & 1 \\ 0 & 0 & 0 & 0 & 0 & 0 & 0 \end{pmatrix} \\
 &\quad \begin{pmatrix} 37 \\ 35 \\ 28 \\ 28 \\ 58 \\ 18 \\ 21 \\ 15 \end{pmatrix} = \sqrt{2} \\
 &\quad \begin{pmatrix} 36 \\ 28 \\ 38 \\ 20 \\ 18 \\ 3 \end{pmatrix}
 \end{aligned}$$

aproksimacija $a_1 = \sqrt{2}$

Nivo 2

Ulazni signal je aproksimacija određena vektorom a_1

$$\frac{1}{\sqrt{2}} \begin{pmatrix} 1 & 1 & 0 & 0 \\ 0 & 0 & 1 & 1 \\ 1 & -1 & 0 & 0 \\ 0 & 0 & 1 & -1 \end{pmatrix} \sqrt{2} \begin{pmatrix} 36 \\ 28 \\ 38 \\ 18 \end{pmatrix} = 2 \begin{pmatrix} 32 \\ 28 \\ 4 \\ 10 \end{pmatrix}$$

$$\text{aproksimacija } a_2 = 2 \begin{pmatrix} 32 \\ 28 \end{pmatrix}, \quad \text{detalj } b_2 = 2 \begin{pmatrix} 4 \\ 10 \end{pmatrix}$$

Nivo 3:

Poslednji mogući nivou za ovaj obim podataka

$$\frac{1}{\sqrt{2}} \begin{pmatrix} 1 & 1 \\ 1 & -1 \end{pmatrix} 2 \begin{pmatrix} 32 \\ 28 \end{pmatrix} = 2\sqrt{2} \begin{pmatrix} 30 \\ 2 \end{pmatrix}$$

$$\text{aproksimacija } a_3 = 2\sqrt{2} (30), \quad \text{detalj } b_3 = 2\sqrt{2} (2)$$

Dekompozicija signala $f = a_0$ je određena vektorima a_3 , b_3 , b_2 i b_1 ,

$$f = \begin{pmatrix} 37 \\ 35 \\ 28 \\ 28 \\ 58 \\ 18 \\ 21 \\ 15 \end{pmatrix} = 30 \begin{pmatrix} 1 \\ 1 \\ 1 \\ 1 \\ 1 \\ 1 \\ 1 \\ 1 \end{pmatrix} + 2 \begin{pmatrix} 1 \\ 1 \\ -1 \\ -1 \\ -1 \\ -1 \end{pmatrix} + 4 \begin{pmatrix} 0 \\ -1 \\ 0 \\ 0 \\ 0 \\ 0 \\ 0 \end{pmatrix} + 10 \begin{pmatrix} 0 \\ 0 \\ 1 \\ 1 \\ 0 \\ 0 \\ 0 \end{pmatrix} + 20 \begin{pmatrix} 0 \\ 0 \\ 0 \\ 0 \\ 0 \\ 1 \\ 0 \end{pmatrix} + 3 \begin{pmatrix} 0 \\ 0 \\ 0 \\ 0 \\ 0 \\ 0 \\ 1 \end{pmatrix}$$

◊ Matrični zapis rekonstrukcije (poslednji korak)

$$(C \quad D) (\uparrow 2) \begin{pmatrix} a_1 \\ b_1 \end{pmatrix} = \frac{1}{\sqrt{2}} \begin{pmatrix} 1 & 0 & 0 & 0 & 1 & 0 & 0 \\ 1 & 0 & 0 & 0 & -1 & 0 & 0 \\ 0 & 1 & 0 & 0 & 0 & 1 & 0 \\ 0 & 1 & 0 & 0 & 0 & 0 & 0 \\ 0 & 0 & 1 & 0 & 0 & 0 & 0 \\ 0 & 0 & 1 & 0 & 0 & 0 & 0 \\ 0 & 0 & 0 & 1 & 0 & 0 & 0 \\ 0 & 0 & 0 & 1 & 0 & 0 & 0 \\ 0 & 0 & 0 & 0 & 1 & 0 & 0 \\ 0 & 0 & 0 & 0 & 0 & 1 & 0 \\ 0 & 0 & 0 & 0 & 0 & 0 & 1 \end{pmatrix} \sqrt{2} \begin{pmatrix} 36 \\ 28 \\ 38 \\ 18 \\ 1 \\ 0 \\ 20 \\ 3 \end{pmatrix} = \begin{pmatrix} 37 \\ 35 \\ 28 \\ 28 \\ 58 \\ 18 \\ 21 \\ 15 \end{pmatrix}$$

Ako je funkcija data sa 2^m vrednosti, dekompozicija se vrši najviše do m -tog nivoa. DWT funkcije je određena svim koeficijentima, polazeći od poslednjeg nivoa dekompozicije (ima ih 2^m).

Pri odgovarajućem izboru koeficijenata $c(n)$ i $d(n)$ detalji b_{jk} mogu biti zane-marljivo mali za razno j . Kako aproksimacija na J -tom nivou sadrži 2^J puta manje podataka nego ulazni signal, broj koeficijenata kojima se opisuje funkcija može biti znatno umanjen.

Brza transformacija talasićima (FWT = Fast Wavelet Transformation) (Stephane Mallat-a i Ingrid Daubechies, 1988)

Efikasan postupak za realizaciju piridalnog algoritma. Za signal dužine n broj koraka FWT je $\mathcal{O}(n)$ (za FFT $\mathcal{O}(n \ln n)$). Algoritam je u potpunosti rekurzivan. Neparne vrste matrice transformacije sadrže koeficijente $c(n)$, a parne vrste sadrže ove koeficijente u obrnutom poretku uz alternativnu promenu znaka, tj. $d(n)$. Razlaganjem DWT matrice na proizvod retkih matrica, koristeći svojstvo samokonjugovanosti, ubrzava se piridalni algoritam.